

Desarrollo de un sistema de disparo para el experimento MPD-NICA del JINR

**Heber Zepeda-Fernández
CINVESTAV-IPN**

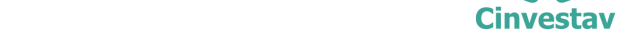
Reunión General de la RED-FAE 2017

September 28, 2017



Contenido

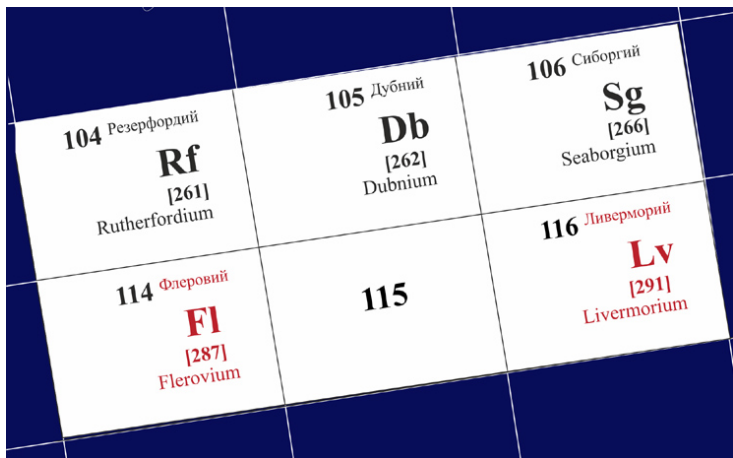
- 1 NICA-JINR
- 2 Beam Monitoring Detector (BMD)
- 3 BMD: Resultados de simulación
- 4 BMD: Resultados del prototipo
- 5 Conclusiones



“Joint Institute for Nuclear Research” (JINR), Dubna, Rusia (1956).



“Joint Institute for Nuclear Research” (JINR), Dubna, Rusia (1956).



“Joint Institute for Nuclear Research” (JINR), Dubna, Rusia (1956).

Elementos descubiertos en el JINR

- 1966 - Nobelium: 102
- 1970 - Dubnium: 104
- 1999-2005
 - Nihonium: 113.
 - Flevorium: 114.
 - Moscovium: 115.
 - Livermorium: 116.
 - Oganesson: 118.
- Identificación química de Copernicium: 112.
- Sintetización de Tennessine: 117.



“Joint Institute for Nuclear Research” (JINR), Dubna, Rusia (1956).

Áreas de investigación:

- Física Teórica.
- Física de partícula elementales.
- Física Nuclear Relativista.
- Física de Iones Pesados.
- Física de Energía baja e intermedia.
- Física Nuclear con Neutrones.
- Física de Materia Condensada.
- Radiobiología.
- Redes Informáticas, Informática y Física Computacional.



“Joint Institute for Nuclear Research” (JINR), Dubna, Rusia (1956).

Áreas de investigación:

- Física Teórica.
- **Física de partícula elementales.**
- Física Nuclear Relativista.
- Física de Iones Pesados.
- Física de Energía baja e intermedia.
- Física Nuclear con Neutrones.
- Física de Materia Condensada.
- Radiobiología.
- Redes Informáticas, Informática y Física Computacional.



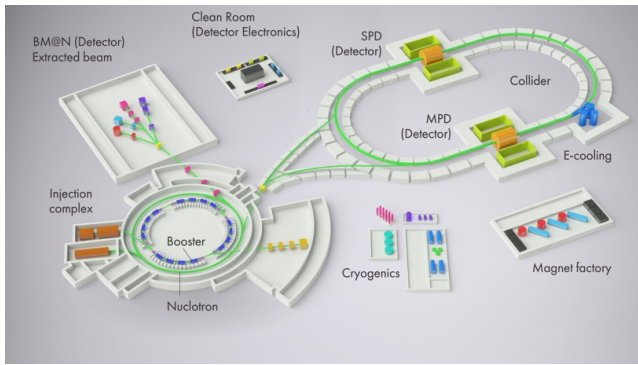
- $E = 4.5 \text{ GeV}$ para iones, $E = 12.6 \text{ GeV}$ para protones. Nucleoatrón desde 1993.



- Propiedades de interacción fuerte en SM: Quarks y gluones.
- Transición de fase entre la materia hadrónica y el QGP.
- Interacciones fuertes en el vacío y simetrías QCD.

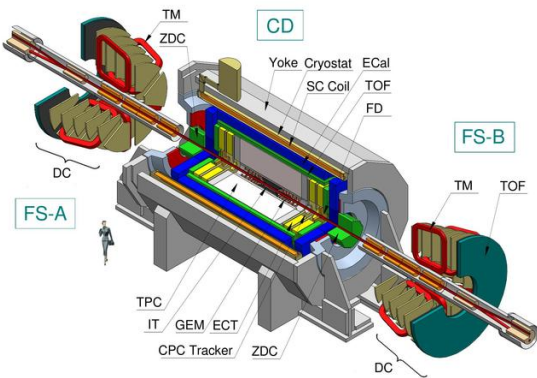


“Nuclotron-based Ion Collider fAcility” (NICA)



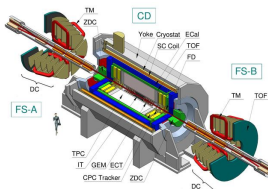
- “Baryonic Matter at Nuclotron” (BM@N).
- “The Spin Physics Detector” (SPD).
- **“The Multi-Purpose Detector” (MPD).**

MPD



Cinvestav

MPD

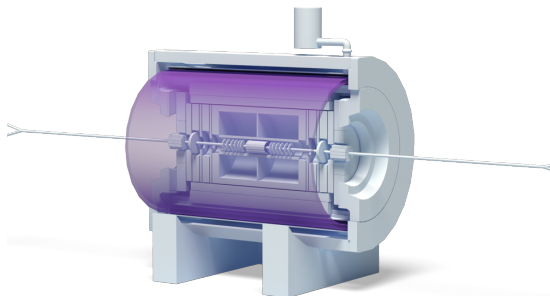


- Time Projection Chamber (TPC).
- Inner Tracker (IT).
- Time of Flight (TOF).
- Electromagnetic Calorimeter (ECAL).
- Zero Degree Calorimeter (ZDC).
- Fast Forward Detector (FFD).
- Magnetic solenoid.



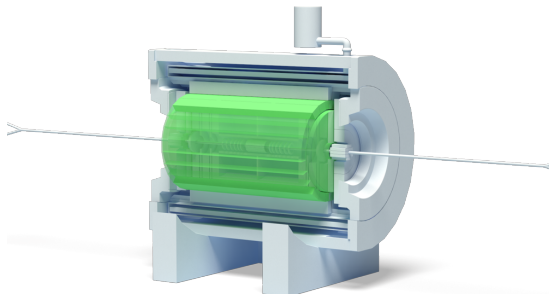
MPD

- Campo magnético de 0.5 T.



MPD

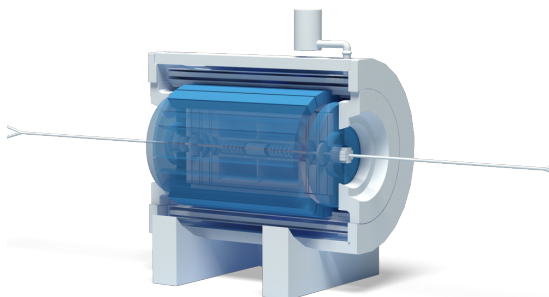
- TPC + IT + TOF + ECAL: p_T suficiente resolución, Determinación del vértice y **ID**:
 - TOF. **kaones** $p_T < 1.5 \text{ GeV}$, **(anti)protónes** $p_T < 3 \text{ GeV}$,
 - con dE/dx en IT y TPC.



Cinvestav

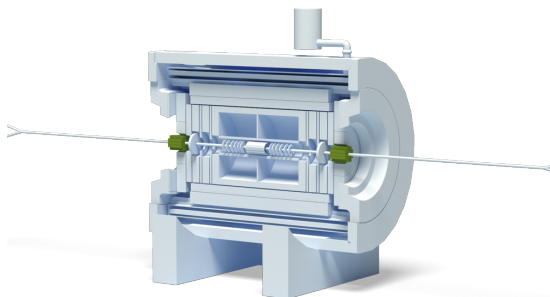
MPD

- ECAL: Partículas cargadas y γ .



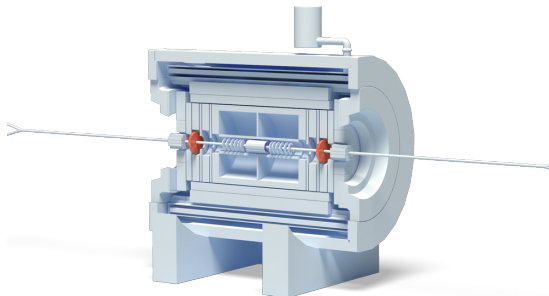
MPD

- ZDC: Clasificación de centralidad.



MPD

- FFD:
 - Determinación rápida de la interacción.
 - Control de la razón de colisión.
 - Posición del punto de interacción.

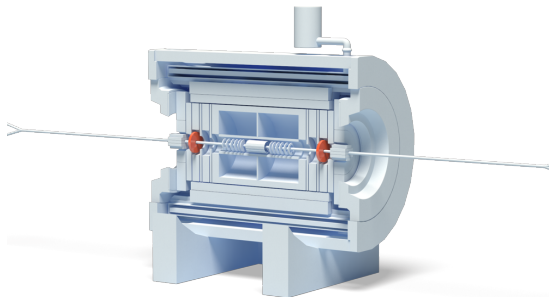


Las partículas no son relativistas



MPD

- FFD:
 - Determinación rápida de la interacción.
 - Control de la razón de colisión.
 - Posición del punto de interacción.



Las partículas no son relativistas

Nuestro detector entra en acción



THE BEAM MONITORING DETECTOR (BMD)



Cinvestav

BMD: Características.

Detector centellador: Bc404.

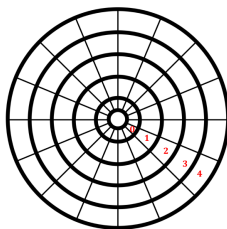
Será capaz de:

- Incrementará la sección de pseudorapidez: $1.69 \leq |\eta_{BMD}| \leq 4.36$.
- Optimización de eventos.
- Centralidad y localización del punto de interacción.
- Estimador de la multiplicidad.
- Sistema de Trigger.
- Monitoreo en el haz.
- Discriminará la centrantalidad del ruido.
- Determinará la sección eficaz absoluta de las reacciones de procesos.
- **Resolución temporal: 50 ps** (Photon de centelleo + tiempo en la electrónica).



BMD: Simulación.

- Software usado: **mpdroot** + **bmd**

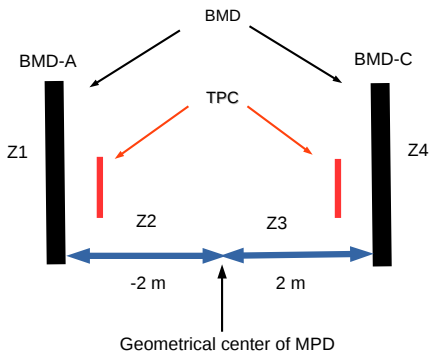


Ring	Minimum radius (cm)	Maximum radius (cm)
1	5.1	8.30
2	8.5	14.50
3	14.7	23.40
4	23.6	42.00
5	42.2	73.63



BMD: Simulación

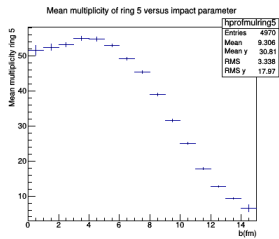
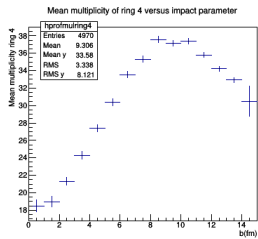
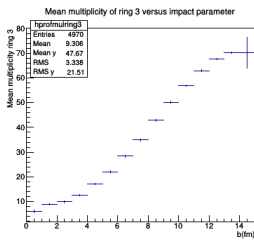
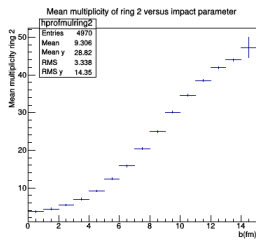
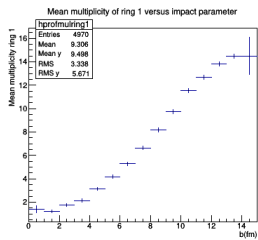
Ubicación de BMD:



Cinvestav

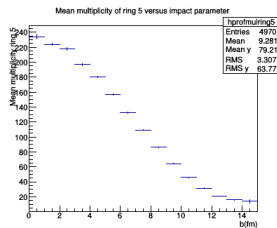
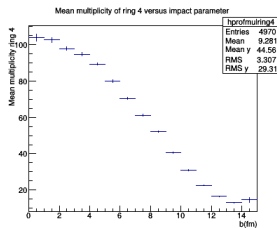
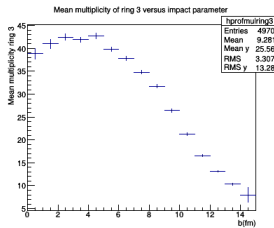
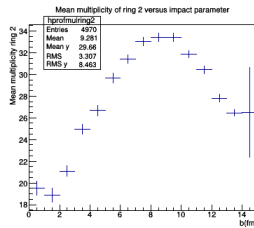
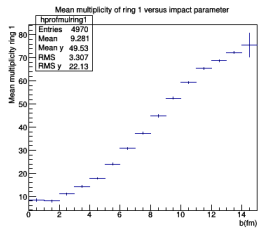
BMD: Simulación

Multiplicidad 4 GeV:



BMD: Simulación

Multiplicidad 11 GeV:



Localización del punto de interacción

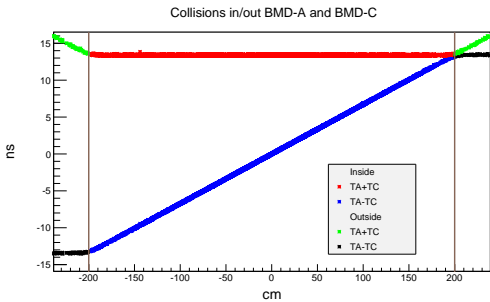


Figure: Relación entre el tiempo de llegada (T_A y T_C) al BMD con posición del punto de interacción.

Tiempo de resolución de llegada: $\Delta\sigma = |\sigma_A - \sigma_C| = 57.982 \pm 0.509$ ps.
Independiente de la geometría.

A la par:

Geant 4

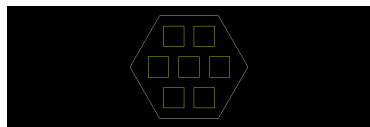


Encontrando la geometría para los 50 ps



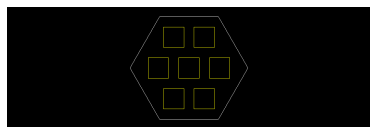
Encontrando la geometría para los 50 ps

π^+ E=5 MeV (cuadrados amarillos → APD):



Encontrando la geometría para los 50 ps

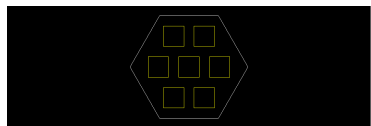
π^+ E=5 MeV (cuadrados amarillos → APD):



- Obtener el fotón más rápido en Scorer en cada evento.

Encontrando la geometría para los 50 ps

π^+ E=5 MeV (cuadrados amarillos → APD):

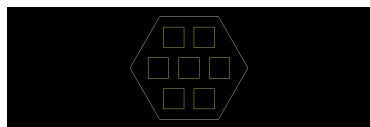


- Obtener el fotón más rápido en Scorer en cada evento.
- Realizar el fit de distribución → σ_i .



Encontrando la geometría para los 50 ps

π^+ E=5 MeV (cuadrados amarillos → APD):



- Obtener el fotón más rápido en Scorer en cada evento.
- Realizar el fit de distribución $\rightarrow \sigma_i$.
- Resolución temporal $= \sigma_i - \sigma_j$.

Encontrando la geometría para los 50 ps

a)

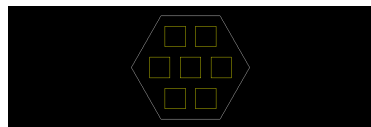


Figure: Tamaño: 10 cm. 133.579 ± 21.803 ps $\leq \Delta\sigma \leq 226.409 \pm 37.821$ ps.

b)

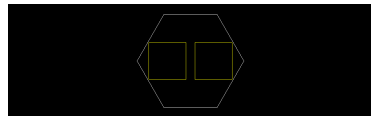


Figure: Tamaño: 5 cm. $\Delta\sigma = 12.908 \pm 4.762$ ps.



Encontrando la geometría para los 50 ps

c)

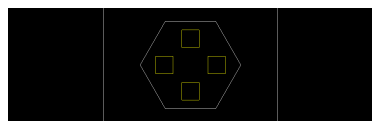


Figure: Tamaño: 10 cm. 0.963 ± 0.028 ps $\leq \Delta\sigma \leq 97.432 \pm 34.156$ ps.



Estudios del Plástico centellador.

Laboratorio de Ciencias de Materiales en:

- Puebla (BUAP): $R = 9.5 \text{ cm}$ y 2.54 cm de ancho.
- Sinaloa (UAS): $14 \times 15 \times 2 \text{ cm}^3$.

Centellador comercial de Bicron:

- Bc404: El corte $R = 6 \text{ cm}$.



Figure: BUAP (izquierda), Bc404 (centro) y UAS (derecha). Mismo PMT: Hamamatsu R5946

Estudios del Plástico centellador.

- Cada 500 m: Desde Sierra Negra (4,530 m) hasta Boca del Río (nivel del mar).
- Presión y altitud: Sensor BMP085 y sistema de procesamiento mínimo (raspberry PI V3.0).

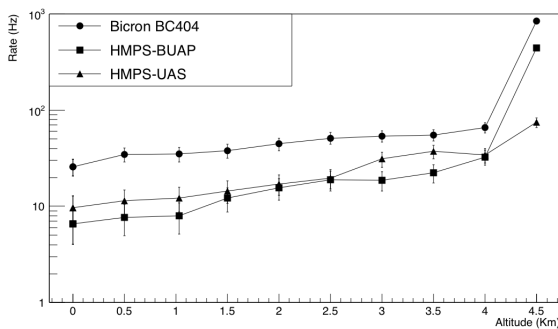


Figure: Taza medida con los tres detectores cada 500 m.

En resumen...

- Bc404 es el material óptimo.
- BMD será un importante detector para el MPD.
- Falta mucho trabajo por realizar. Listo para antes del 2020.

Miembros de MeXNICA:

- M. en C. Heber Zepeda Fernández.
- Dr. Pedro González Zamora.
- Lic. Luis Valenzuela Cazarez.
- Dr. Alejandro Ayala.
- Dr. Luis Manuel Montaño Zetina.
- Dra. María Elena Tejeda Yeomas.
- Dr. Mario Rodríguez Cahuantzi.
- Dra. Isabel Domínguez.





“That's all Folks!”

Preguntas:

hzepeda@fis.cinvestav.mx - pedro.gonzalez.zamora@cern.ch -
luisvc3737@gmail.com



Cinvestav



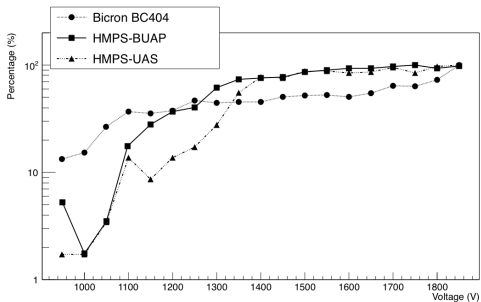


Figure: 1550 V para BUAP, 1600 V para UAS, 1500 V para Bc404

